

水利类专业試用教材

工程力学与工程结构

中 册



水利电力学院

目 录

第七章 结构变位与力法原理	7—1
第一节 结构变位.....	7—1
第二节 功的概念.....	7—3
第三节 弹性结构的虚功原理及变位的一般公式.....	7—5
第四节 荷载作用产生的变位.....	7—8
第五节 温度变化产生的变位.....	7—26
第六节 支座沉陷产生的变位.....	7—30
第七节 超静定结构的基本概念和超静定次数的确定.....	7—32
第八节 力法计算超静定结构.....	7—34
第九节 单跨超静定梁的计算成果.....	7—49
第十节 工程实例计算.....	7—57
第十一节 超静定结构的基本特性.....	7—63
第八章 力矩分配法的原理与连续梁的设计	8—1
第一节 水利工程中的连续梁.....	8—1
第二节 力矩分配法的基本原理.....	8—3
第三节 用力矩分配法计算二个结点以上的连续梁.....	8—19
第四节 红旗泵站出水口启闭台设计实例 ——纵梁部分（连续梁的配筋计算与构造）.....	8—25
第九章 刚架设计	9—1
第一节 刚架的特点及应用.....	9—1
第二节 用力矩分配法计算无结点移动的刚架.....	9—3
第三节 用力矩分配法计算单跨多层有结点移动的刚架.....	9—20
第四节 偏心受压构件的应力计算.....	9—29
第五节 钢筋混凝土偏心受压构件的强度计算.....	9—34

第六节	钢筋混凝土偏心受拉构件的强度计算	9—45
第七节	钢筋混凝土构件的抗裂计算	9—47
第八节	红旗泵站出水口启闭台设计实例(刚架部分)	9—50
第十	涵设计	10—1
第一节	水利工程中常见的拱涵实例	10—1
第二节	用力法计算无铰拱的内力	10—4
第三节	利用图表计算无铰拱的内力	10—16
第四节	涵管设计	10—19
第五节	砖石拱涵简介	10—28
第十一章	弹性地基梁的设计	11—1
第一节	弹性地基梁的概念	11—1
第二节	倒置梁法计算弹性地基梁	11—5
第三节	用查表法(郭氏法)计算弹性地基梁	11—11
第四节	弹性地基梁设计实例	11—18

第七章 结构变位与力法原理

第一节 结构变位

一 什么是结构变位？

工程结构在荷载作用、温度变化以及支座沉陷等情况下，结构的形状会发生改变（变形），结构上有的点和有的截面会发生变位。例如图7-1, a所示悬臂梁，在集中荷载 P 的作用下将产生弯曲变形，端点 B 移动到 B' 的位置， B 到 B' 的直线距离 Δ 叫做 B 点的“线变位”，因为是竖向的变位，所以又叫做“竖向线变位”。 B 点处的横截面在梁变形后转动了一个角度 θ ，叫做截面 B 的“角变位”。又如图7-1, b所示悬臂梁，由于温度升高 $t^{\circ}\text{C}$ 而使其伸长时，端点 B 沿水平方向移动了 Δl 的距离，这叫做 B 点的“水平线变位”。又如图7-1, c所示一端固定一端是活动铰支座的梁，当支座 B 发生了支座

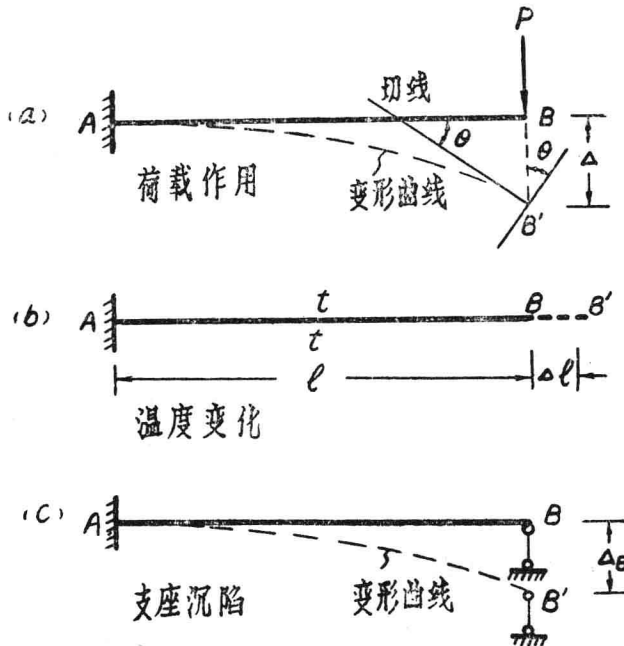


图 7-1

沉陷 Δ_B 时梁将产生变形和变位。总的来说，使结构产生变位的原因尽管不同，但结构变位不外乎“线变位”与“角变位”两种。

二 为什么要研究结构变位?

毛主席说：“人们的认识，不论对于自然界方面，对于社会方面，也都是一步一步地由低级向高级发展，即由浅入深，由片面到更多的方面。”

在前面的有关章节中，我们对于静定结构的强度问题进行了研究。任何结构都必须首先考虑强度问题，以保证结构在荷载作用下不破坏。但在许多实际工程结构中，只考虑到结构的强度问题还是不够的，因为有些结构虽然强度够了，但变形过大也不能满足使用的要求；也就是说，在设计工程结构的时候，除了首先应该考虑强度问题外，还应限制结构的变形范围，这叫做结构的刚度问题。如控制水流的闸门，在水压力的作用下，如果刚度不够就会产生过大变形而漏水；又如水电站厂房中的吊车梁，如果刚度不够就会因变形过大而影响正常运转。

在结构设计中，必须限制结构的最大变位在允许范围以内，即：

$$\Delta \leq [\Delta]$$

上式就是限制结构变位的刚度条件。 Δ —结构的最大变位（线变位或角变位）； $[\Delta]$ —结构在保证正常工作的情况下允许产生的变位，可以查有关的设计规范。

对于梁来说，垂直于梁轴线方向的最大线变位一般叫做“挠度”，用 f 表示。因此，对于梁的刚度条件可以写成：

$$f \leq [f]$$

对于吊车梁，根据吊车起重的大小不同，允许最大挠度 $[f] \leq \frac{l}{500} \sim \frac{l}{750}$ ，其中 l 是吊车梁的跨度。对于钢闸门的主梁，允许最大挠度 $[f] \leq \frac{l}{600}$ ；次梁允许最大挠度 $[f] \leq \frac{l}{200} \sim \frac{l}{250}$ 。

我们研究结构变位的目的，除以上所说的校核结构的刚度以外，再就是为今后计算“超静定结构”作必要的知识准备。关于什么是超静定结构？为什么超静定结构的计算要以结构变位计算为基础？以及如何计算结构变位？等等，都是本章所要讲的问题。

总起来说，研究结构变位计算的有二：一是校核结构的刚度；二是为超静定结构的计算服务。

三 研究结构变位的方法是什么？

毛主席说：“我们不但要提出任务，而且要解决完成任务的方法问题。”现在我们的任务是求结构变位，所采用的方法是在生产实践活动中发现的当前最常用的虚功原理法（或叫虚位移原理法）。在本章将通过虚功原理的研究建立起计算结构变位的一般公式，然后再将一般公式具体地运用到各种常见情况下的变位计算中去。下面首先讲功及虚功的概念。

第二节 功的概念

毛主席说：“社会实践的继续，使人们在实践中引起感觉和印象的东西反复了多次，于是在人们的脑子里生起了一个认识过程中的突变（即飞跃），产生了概念。”功的概念同样是来源于生产实践活动。例如，把一个重量为 60 公斤的物体提升 4 米（图 7—2, a）和把一个重量为 30 公斤的物体提升 10 米（图 7—2, b），两种情况是不同的。

第一种情况物体重量大，但提升路程小；第二种情况物体重量小，但提升路程大。这里，就存在一个计量物体位置变化的问题，就是说存在一个用什么样的物理量，才能把提升物体所需要的力和提升的路程综合地计量出来。由此，在实践活动中引进了一个新的物理量，这就是力和变位（路程）的乘积，我们把它叫做“功”，用 T 表示。即

〔力做的功〕=〔力〕×〔物体沿着该力作用方向产生的变位〕。

对于第一种情况（图 7—2, a），力所做的功 $T_1 = 60 \text{ 公斤} \times 4 \text{ 米} = 240 \text{ 公斤—米}$ ；对于第二种情况（图 7—2, b），力所做的功 $T_2 = 30 \text{ 公斤} \times 10 \text{ 米} = 300 \text{ 公斤—米}$ 。就是说第二种情况力所做的功比第一种情况力所做的功大。

在实践活动中，劳动人民创造许多省力的办法来搬运很重的物体。例如，搬运一个比较重的物体越过一个陡坎，陡坎高 h ，物体重 G （图 7—3）如果直接提上去，就需要用大小等于 G 的力，但是，为了省力，我们就搭上一个斜跳，将重物沿斜面拉上陡坎。设斜面长 S ，则沿斜面拉重物所用的力 P 就等于重力 G 沿斜面的分力 G_2 ：

$$G_2 = G \sin \alpha,$$

因 $\sin \alpha = \frac{h}{S},$

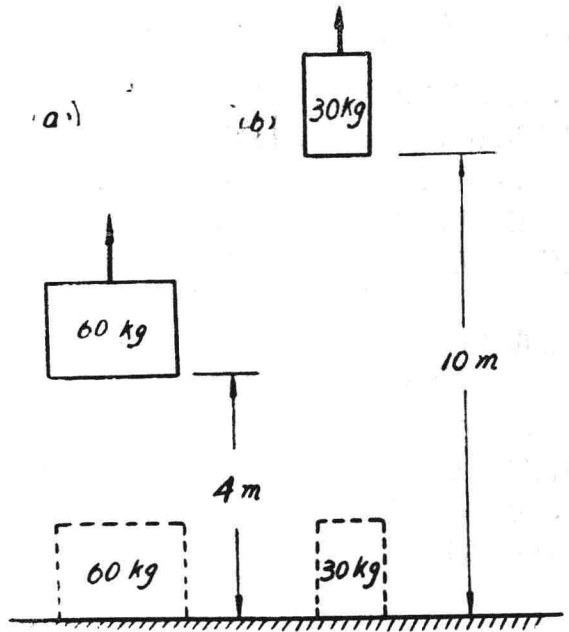


图 7—2

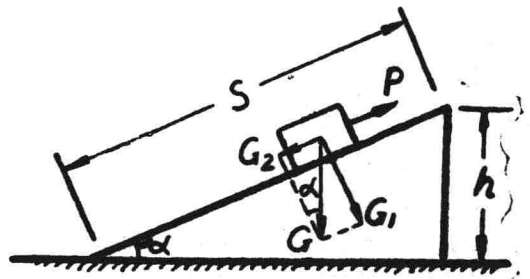


图 7—3

所以 $G_2 = G \frac{h}{s}$

由 $P = G_2 = G \frac{h}{s}$ (忽略摩擦力的影响)

可以看出，沿斜面拉重物的力 P 比直接提升所需的力小。但是，在直接将重物提升高度 h 和沿斜面使重物上升高度 h 这两种不同的过程中，所需的力与重物所经过的路程的乘积，也就是功却是相等的。在第一种过程中，所需的力为 G ，路程为 h ，二者的乘积为 $T = G \times h$ ；在第二种过程中，所需的力为 $P = G \frac{h}{s}$ ，路程为 s ，两者的乘积为 $T = P \times s = G \frac{h}{s} \times s = Gh$ 。这个实例说明，不管重物经过怎样的路程，只要上升的高度相等，或者说只要在竖直方向的变位相等，提升力所作的功就相等（忽略摩擦力的影响）。同时也说明，物体在力作用下产生运动（包括变形）的时候，功是和物体的位置变化有关的一个物理量，正是基于这种认识，我们可以依据功来研究结构的变位。

通过上面的分析已经知道，在数值上，功等于做功的力与物体沿着该力作用方向所产生的变位的乘积，如上述沿斜面拉重物时：

$$T = P \times S$$

又如作用于扳手套杆上一个力偶，他的矩为 M ，使套杆产生一角变位 θ (图 7—4)，则力偶矩做的功为： $T = M\theta$

功有正功和负功，如果力的方向与变位的方向相同，则功为正值；反之，则为负值。如图 7—3 中的重物，沿斜面上升时，力 P 的方向与变位的方向相同，它所作的功为正功；而重力 G 的分力 G_2 的方向与变位的方向相反，它所作的功为负功，表示为：

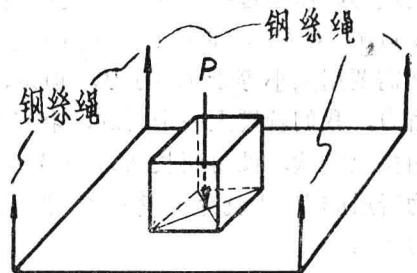
$$T = -G_2 \times S。$$

在工程中，功的单位以公斤一米或吨一米表示。

上面我们讨论了力在该力产生的变位上做的功。在实践中还有一种情况，就是做功的力和产生变位的原因并不是一回事。例如，升降梯（电梯）在升降物体的过程中（图 7—5），当升降梯上升一个路程 h' 时，物体的重量 P 在路程 h' 上所做的功是 $T' = -Ph'$ （负号是因为力 P 的方向和路程 h' 的方向相反）；当升降梯下降一个路程 h'' 时，力 P 在路程 h'' 上所做的功是： $T'' = Ph''$ 。在这里，路程（或叫变位） h' 和 h'' 是由升降梯的钢丝绳拉动而产生的，而力 P 是在钢丝绳拉动所产生的路程 h' 和 h'' 上做功。换句话说，在这里做功的力 P 是物体的重量，路程 h' 和 h'' 的产生是与做功的力 P 毫无关系的，是由其他原因（钢丝绳的拉动）产生的。为了区别于上面所讲过的力在该力所产生的变位上做的功，把这种力在不是本身因素所产生的变位（叫做“虚变位”）上做的功叫做“虚功”。这里“虚”字的意思是指变位是由任



图 7—4



升降梯示意图

图 7—5

何其他原因所产生的而与做功的力毫无关系。

又如一个受压杆件(图7-6, a)。由于温度升高 20°C (相对于原来的温度)杆件伸长了 ΔL ,如图7-6, b所示,则力 P 将在变位 ΔL 上做虚功: $T = -P \times \Delta L$ (负号是因为力 P 的方向和变位 ΔL 的方向相反)。当温度降低 20°C (相对于原来的温度)时,如图7-6, c所示,则虚功为 $T'' = P \times \Delta L$ 。

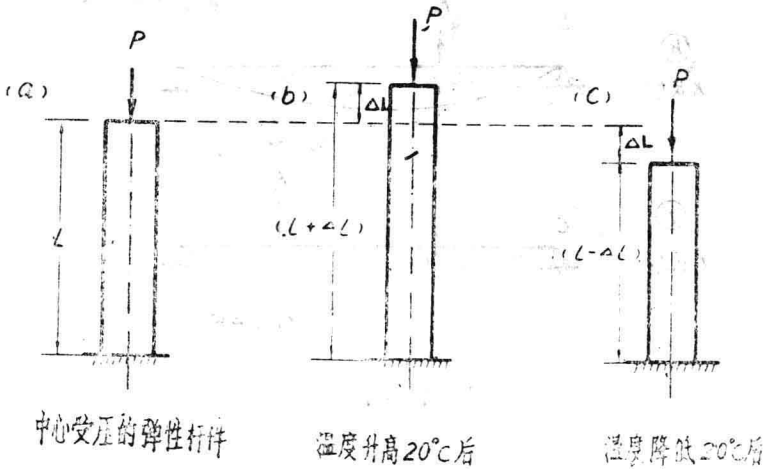


图 7-6

第三节 弹性结构的虚功原理及变位的一般公式

在第二节讨论了功及虚功的概念。在本节将首先讨论弹性结构的虚功原理,然后导出求结构变位的一般公式。

如图7-7, a所示弹性结构,由于外力 P_k 的作用使结构变形到位置(I),这时结构上的外力与内力处于静力平衡状态。如果结构受到任何其他原因 i (如外力 P_i)的作用就会使结构再继续变形到位置(II)。

由位置(I)变形到位置(II)的时候,在力 P_k 的作用线上产生了新的变位 Δ_{ki} ,就是所谓“虚变位”。 Δ_{ki} 中脚标 K 表示变位的地点及方向;脚标 i 表示产生变位的原因。这里的“虚”字的意思是指 P_k 方向的变位 Δ_{ki} 是其他原因(P_i)引起的而与力 P_k 无关。由于在力 P_k 的作用线上产生了虚变位 Δ_{ki} ,所以力 P_k 要在虚变位 Δ_{ki} 上做虚功:

$$T_{ki} = P_k \Delta_{ki} \quad (a)$$

T_{ki} 中,脚标 K 表示做功的力是 P_k ;脚标 i 表示产生变位的原因是 P_i ,变位与力同向时为正;反向为负。这样结构上的外力在不是本身因素产生的变位(虚变位)上做的功,

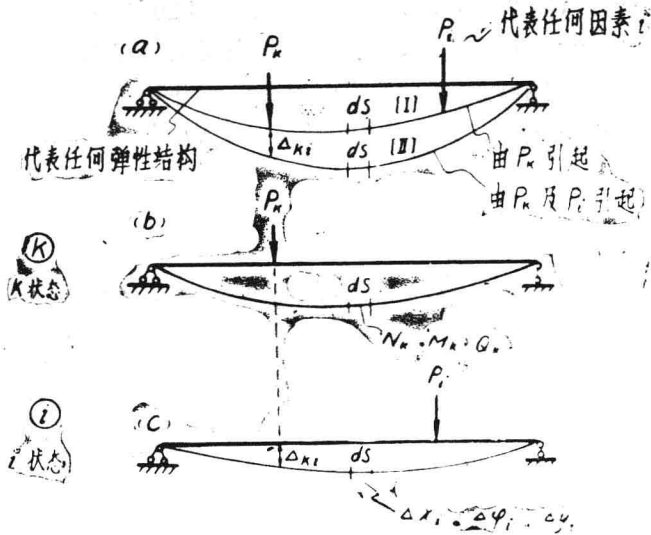


图 7-7

叫做外力虚功。

在小变位的情况下，力与变位成线性关系，式(a)中 Δx_i 只与因素 P_i 有关而与力 P_k 无关，为了清楚起见，把图 7-7, a 所示情形分成如图 7-7, b 及 c 所示的两种状态： K 状态与 i 状态，今后在阐述许多问题时，都将这样处理。

对于弹性结构，当产生虚变位时，不但结构上的外力做功，而且由于结构本身产生变形，结构中的内力也做功。这种结构的内力在不是本身因素产生的变形上做的功，叫做内力虚功。具体讲，结构在力 P_k 作用下，其任一微分段 ds 中将产生三种内力： N_k 、 M_k 及 Q_k (图 7-8, a)，但是当该微分段 ds 从结构中切出来以后，原来的内力就转化为如图 7-8, a 所示的外力。此外，在结构从位置(I)到(II)的过程中，在结构的同一微分段 ds 中将产生三种变位： Δx_i 、 $\Delta \varphi_i$ 及 Δy_i (图 7-8, b)，若将该微分段取出放大，这三种变位如图 7-8, b 所示。它们对 N_k 、 M_k 及 Q_k 来讲都是“虚变位”。在这些新的变位形成过程中，三种内力： N_k 、 M_k 及 Q_k 将分别在相应的三种变位： Δx_i 、 $\Delta \varphi_i$ 及 Δy_i 上做功。因此，可将图 8-7, a 和 b 分为图 7-8, c, d 及 e 所示三种情况分别考虑，然后相加。

图 7-8 中用实线表示的 N_k 、 M_k 及 Q_k 是微分段 ds 的外力；用虚线表示的 N_k 、 M_k 及 Q_k 是微分段 ds 的内力，它们是大小相等方向相反的，所以该微分段 ds 上外力虚功 dT_{ki} 与内力虚功 dV_{ki} 分别为：

$$dT_{ki} = N_k \Delta x_i + M_k \Delta \varphi_i + Q_k \Delta y_i;$$

$$dV_{ki} = -(N_k \Delta x_i + M_k \Delta \varphi_i + Q_k \Delta y_i)。$$

不难看出： $dT_{ki} = -dV_{ki}$ ，

$$dT_{ki} + dV_{ki} = 0。$$

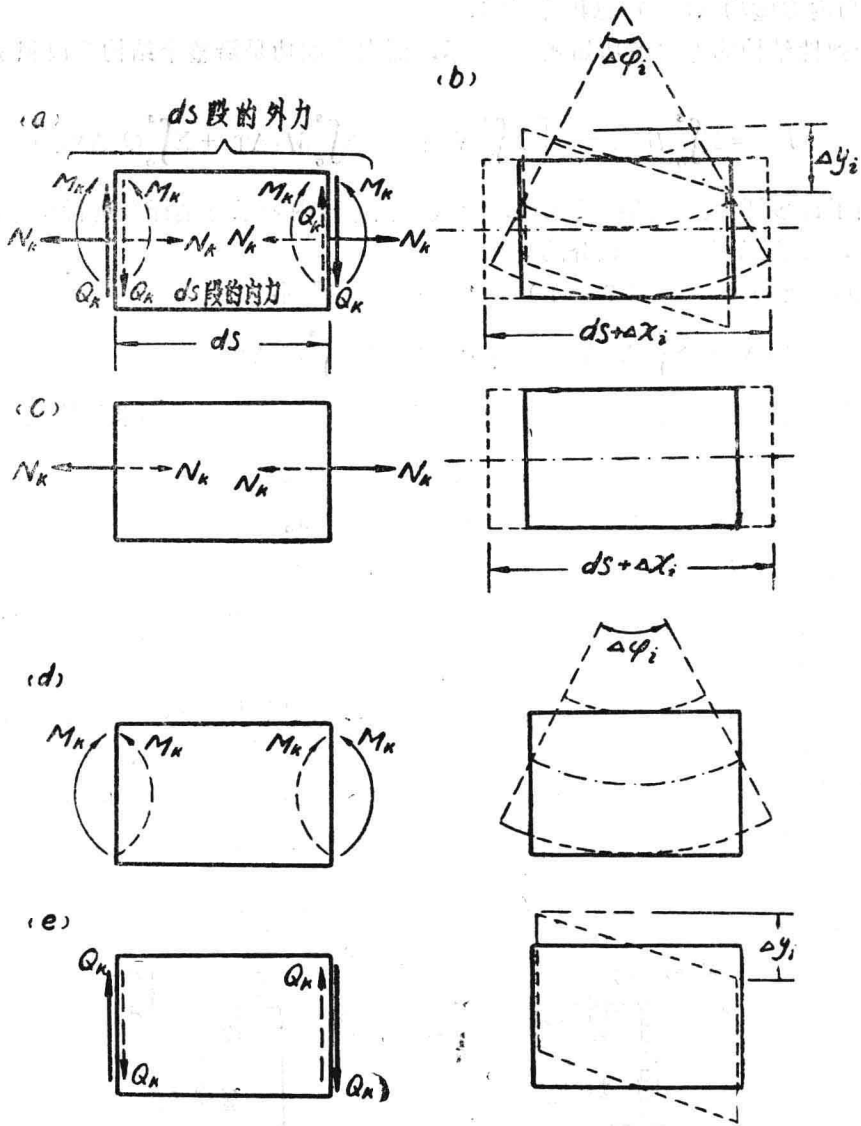


图 7—8

对于整个弹性结构在外力作用下，外力和内力互相平衡，这也和微分段 ds 相同，外力虚功 T_{ki} 和内力虚功 V_{ki} 也必然是数值相等，正负号相反，即：

$$\left. \begin{aligned} T_{ki} &= -V_{ki} \\ \text{或} \quad T_{ki} + V_{ki} &= 0。 \end{aligned} \right\} \quad (7-1)$$

式 (7—1) 所表明的就是弹性结构的虚功原理：在外力作用下处于静力平衡状态的弹性结构，发生任意虚变位时，外力虚功 (T_{ki}) 等于内力虚功 (V_{ki})，但正负号相反。或

者表述为：在外力作用下处于静力平衡状态的弹性结构，发生任意虚变位时，外力虚功 (T_{ki}) 与内力虚功 (V_{ki}) 总和等于零。

整个弹性结构的外力虚功如式(a)所示，而内力虚功是沿整个结构分段积分的总和，即：

$$V_{ki} = \sum \int_0^s dV_{ki} = - \left[\sum \int_0^s N_k \Delta x_i + \sum \int_0^s M_k \Delta \varphi_i + \sum \int_0^s Q_k \Delta y_i \right] \quad (b)$$

对由于许多杆件组成的结构来说，上式中积分号内表示对某杆段进行积分， S 表示杆段的长度， Σ 表示所有杆段积分的总和。

将式(a)及(b)代入式(7-1) $T_{ki} = -V_{ki}$ ，得到：

$$P_k \Delta_{ki} = \sum \int_0^s N_k \Delta x_i + \sum \int_0^s M_k \Delta \varphi_i + \sum \int_0^s Q_k \Delta y_i \quad (c)$$

不难发现如果 P_k 是单位力即 $P_k = 1$ ，则由式(c)就可以得到求结构变位的一般公式：

$$\underbrace{\Delta_{ki}}_{T_{ki} = 1 \times \Delta_{ki}} = \underbrace{\sum \int_0^s \bar{N}_k \Delta x_i + \sum \int_0^s \bar{M}_k \Delta \varphi_i + \sum \int_0^s \bar{Q}_k \Delta y_i}_{(-V_{ki} (P_k = 1 \text{ 作用下}))} \quad (7-2)$$

实际上，(式7-2)的等号左边就是单位力 $P_k = 1$ 做的外力虚功 T_{ki} ；等号右边就是单位力 $P_k = 1$ 产生的内力 \bar{N}_k 、 \bar{M}_k 及 \bar{Q}_k 做的内力虚位 V_{ki} 。

怎样运用(式7-2)来求结构上的变位呢？我们以图7-9, a所示结构为例进行说明。如果要求A点的竖向线变位 Δ_{ki} ，就在A点沿竖向虚设一个单位力 $P_k = 1$ 如图7-9, b所示，因此K状态的是虚设的，叫虚设状态，i状态是实际情况，叫做实际状态。然后设法求出i状态下的 Δx_i 、 $\Delta \varphi_i$ 、 Δy_i 和K状态下的 \bar{N}_k 、 \bar{M}_k 、 \bar{Q}_k 代入式(7-2)即可求出 Δ_{ki} 。应指出：这里虚设一个单位力 $P_k = 1$ ，只是完成求结构变位的一个手段。以后各节将讨论式(7-2)在各种具体情况的应用。

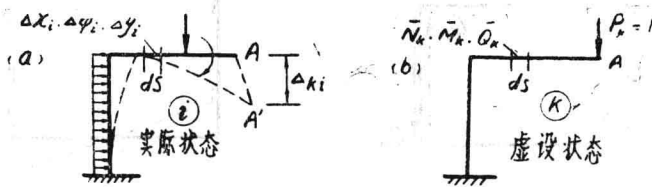


图 7-9

第四节 荷载作用产生的变位

在第三节已经得到结构变位的一般公式(7-2)为：

$$\Delta_{ki} = \sum \int_0^s \bar{N}_k \Delta x_i + \sum \int_0^s \bar{M}_k \Delta \varphi_i + \sum \int_0^s \bar{Q}_k \Delta y_i$$

这个公式是个一般性的公式，可以用它求任何形式的杆件结构，由于任何原因所产生的，任何点沿任何方向的线变位或角变位。式中 \bar{N}_k 、 \bar{M}_k 及 \bar{Q}_k 是结构在虚设的单位力 $P_k=1$ 作用下，所产生的内力（如图 7—9, b 所示的情形）； Δx_i 、 $\Delta \varphi_i$ 及 Δy_i 是结构在实际情况下产生的变位。实际情况是多种多样的，例如荷载作用、温度变化、支座沉陷以及它们的组合情况等等。在本节里专门讨论结构在荷载作用下（如图 7—9, a 所示情形）的变位计算。

一 结构在荷载作用下的变位公式推导

1. 轴向力 N_i 产生的变位 Δx_i

如图 7—10, a 所示，微分段 ds 在轴向力 N_i 的作用下，产生了轴向变位 Δx_i ，这在第二章第二节所讨论过的钢筋受拉情形相同，为：

$$\Delta x_i = \frac{N_i ds}{EA}, \quad (a)$$

式中 A ——杆件的横截面积； E ——杆件材料的弹性模量； EA ——表示杆件抵抗拉伸（或压缩）变形的能力，叫做抗拉（压）刚度。

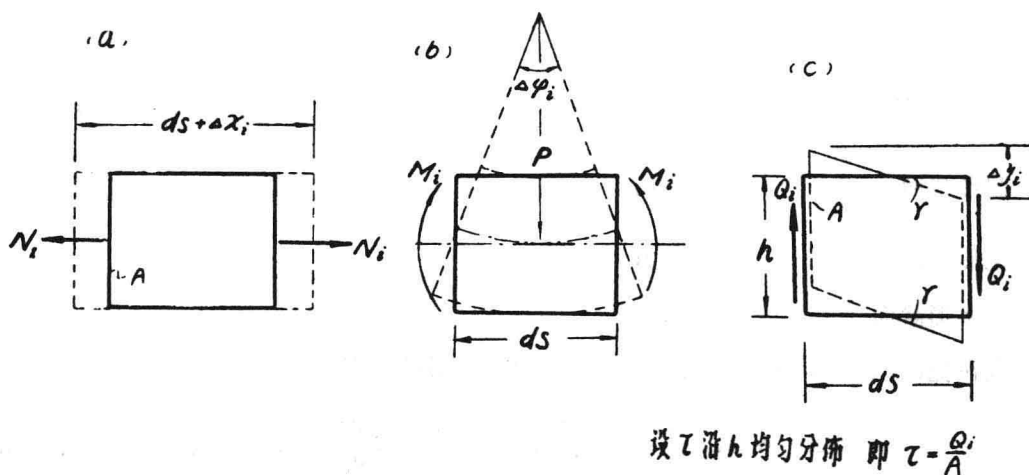


图 7—10

2. 弯矩 M_i 产生的变位 $\Delta \varphi_i$

如图 7—10, b 所示，微分段 ds 在弯矩 M_i 作用下，两端截面相互转动一个角度，即弯曲变位 $\Delta \varphi_i$ 。参照第五章第五节均质梁的正应力强度计算部分以及图 7—10, b，可以求出弯曲变形 $\Delta \varphi_i$ 。已知： $\frac{1}{\rho} = \frac{M_i}{EJ}$ ； $\rho \Delta \varphi_i = ds$ ，即 $\Delta \varphi_i = \frac{1}{\rho} ds$ 。所以：

$$\Delta \varphi_i = \frac{M_i ds}{EJ}, \quad (b)$$

式中 E ——杆件材料的弹性模量； J ——杆件截面 A 对中性轴的惯性矩； EJ ——表示杆件抵抗弯曲变形的能力，叫做抗弯刚度。

3. 剪力 Q 产生的变位 Δy_i

如图 7—10, c 所示，微分段 ds 在剪力 Q_i 的作用下，产生了剪切变位 Δy_i 。由图 7—10, c 所示可知： $\Delta y_i = \gamma ds$ ，其中 γ 叫做剪应变。剪应变 γ 与剪应力 τ 的关系与在第二章第二节中讨论过的拉伸（或压缩）应变 ϵ 与正应力 σ 成正比的关系（ $\sigma = E\epsilon$ ）类似，可以写成： $\tau = G\gamma$ 或 $\gamma = \frac{\tau}{G}$ ，这叫做“剪切正比定律”，其中 G 叫做抗剪弹性模量，与弹性模量 E 一样可以从试验中求得。如果剪应力沿截面高度 h 均匀分布（如图 7—10 c 所示）即 $\tau = \frac{Q_i}{A}$ ，则剪应变 γ 在整个截面高度 h 上是个常数： $\gamma = \frac{\tau}{G} = \frac{Q_i}{GA}$ 。实际上，由第五章第六节均质梁的剪应力强度计算部分已知：剪应力 $\tau = \frac{Q_i S}{Jb}$ ，即沿截面高度 h 不是均匀分布，这说明剪应变 γ 并不是一个常数。因此，如果按剪应力均匀分布，即按 $\tau = \frac{Q_i}{A}$ 来计算，就必须在 γ 的式子中加上一个反映剪应力 τ 分布不均匀性的修正系数 μ ，即： $\gamma = \mu \frac{Q_i}{GA}$ ，代入 $\Delta y_i = \gamma ds$ 中，得：

$$\Delta y_i = \mu \frac{Q_i ds}{GA} \quad (c)$$

μ 值只决定于杆件截面的形状。根据按 $\tau = \frac{Q_i ds}{Jb}$ 实际情况计算的结果得出：

圆形截面	$\mu = \frac{32}{27}$
矩形截面	$\mu = 1.2$
工字形截面	$\mu \approx 1$

现在把 (a)、(b) 及 (c) 代入 (7—2) 中，求得荷载变位公式：

$$\Delta_{ki} = \sum \int_0^s \bar{N}_k N_i \frac{ds}{EA} + \sum \int_0^s \bar{M}_k M_i \frac{ds}{EJ} + \sum \int_0^s \mu \bar{Q}_k Q_i \frac{ds}{GA} \quad (7-3)$$

式 (7—3) 就是通常所说的变位公式，也叫做莫尔公式，其具体应用方法在下面讨论。

在实际工程中，计算结构变位时并不一定都取公式 (7—3) 右边的三项，而是根据具体情况也可能只取其中的一项或两项。

对于梁及刚架这类以受弯为主的杆件，由计算结果比较表明通常只取弯矩一项就能满足工程设计要求，即：

$$\Delta_{ki} = \sum \int_0^s \bar{M}_k M_i \frac{ds}{EJ} \quad (7-4)$$

对于桁架，因为每根杆子只产生轴向力，所以变位公式为：

$$\Delta_{ki} = \sum \int_0^s \bar{N}_k N_i \frac{ds}{EA}$$

又因为桁架中每根杆子的轴向力 N 是一个常数，同时每根杆子的 EA 也是一个常数，所以变位公式也可以写成：

$$\Delta_{ki} = \sum \frac{\bar{N}_k N_i}{EA} \int_0^s ds = \sum \frac{\bar{N}_k N_i l}{EA}, \quad (7-5)$$

式中 l ——杆件长度。

二 求变位的虚设状态

下面讨论一下为了计算结构变位如何建立虚设状态的问题。总的一个原则是：加在结构上的单位力必须与所求变位的性质相适应。如果要求结构上某一点沿某一方向的线变位 Δ_{ki} ，就应该在这个点沿这一个方向加上一个单位力 $P_k = 1$ ，如图 7-11, a 所示。如要求结构上某一个截面的角变位 Δ_{ki} ，就应在这个截面上加上一个能够在这个角变位 Δ_{ki} 上做

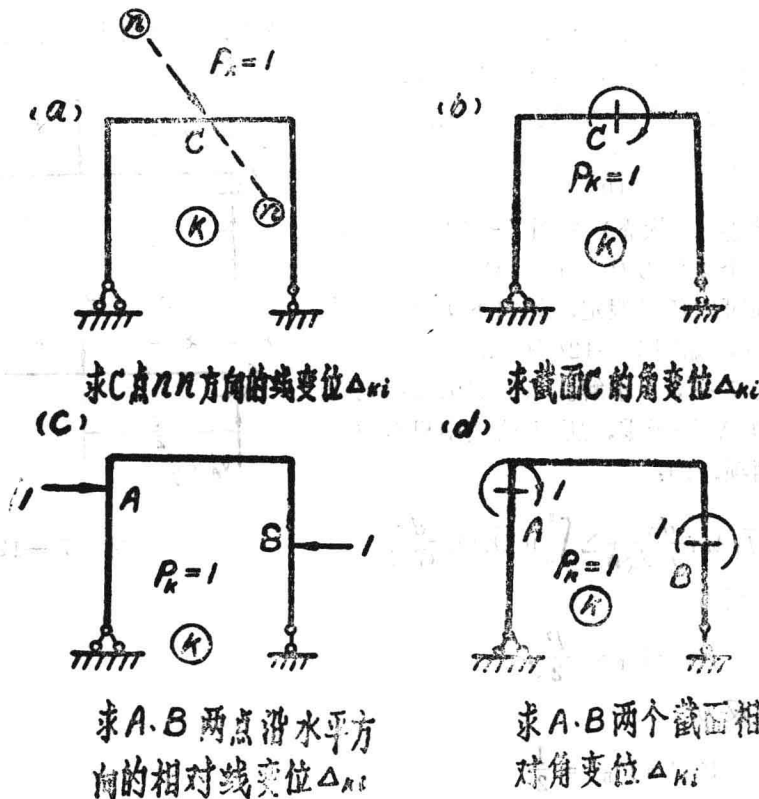


图 7-11

功的单位力矩 $P_k = 1$ ，如图 7—11, b 所示。如果要求结构上某两个点沿某一方向的相对线变位（两个点沿某一方向相互靠近或相互分开的距离），就应在这两个点沿求变位的方向加上一对方向相反的单位力 $P_k = 1$ ，如图 7—11, c 所示（由变位公式的推导可知，只有加上一对方向相反的单位力 $P_k = 1$ ，才能在这个相对线变位 Δ_{ki} 上做功，才能求出相对线变位 Δ_{ki} ）。如果要求结构上某两个截面的相对角变位 Δ_{ki} （两个截面的相互转动的角度），就应在这两个截面上加上一对方向相反的单位力矩 $P_k = 1$ ，如图 7—11, d 所示（因为只有加上一对方向相反的单位力矩 $P_k = 1$ ，才能在这个相对角度变位 Δ_{ki} 上做功，才能求出相对角变位 Δ_{ki} ）。

关于所设单位力的指向在建立虚设状态时是可以任意假设的，实际变位的指向如何，可以根据最后计算结果确定，如果结果为正值说明单位力的指向就是实际变位的指向；如果为负值，则说明相反（因为变位式中等号左边 Δ_{ki} 实际上就是 $T_{ki} = 1 \times \Delta_{ki}$ ，计算结果为正就说明做功的力 P_k 与变位 Δ_{ki} 的方向相同；计算结果为负，则说明做功的力 $P_k = 1$ 与变位 Δ_{ki} 的方向相反）。

三 用积分法计算变位

由公式(7—3)或(7—4)积分求变位叫做积分法，具体计算方法见以下各例题。

【例题 7—1】 求图 7—12, a 所示简支梁中点的挠度，并求剪力和弯矩对于梁挠度值影响的比值。已知条件为：梁是矩形截面，宽为 b 、高为 h ； $\mu = 1.2$ 、弹性模量 E ；抗剪弹性模量 $G = 0.4E$ ；梁高 $h = \frac{l}{10}$ 。

解 实际状态（ i 状态）如图 7—12, a 所示。在梁中点加上一个单位力 $P_k = 1$ （与所求变位方向一致，但指向可以任意假定，如向下）作为虚设状态（ K 状态），如图 7—12b 所示。

应用公式(7—3)求解。该简支梁在竖向荷载作用下轴向力 N 等于零，所以公式中只有弯矩 M 和剪力 Q 两项，即：

$$\Delta_{ki} = \sum \int_0^s \bar{M}_k M_i \frac{ds}{EJ} + \sum \int_0^s \mu \bar{Q}_k Q_i \frac{ds}{GA}$$

在实际状态下，反力

$$V_A = V_B = \frac{P}{2}$$

在虚设状态下，反力

$$V_A' = V_B' = \frac{1}{2}$$

$$0 \leq x \leq \frac{l}{2} \text{ 时,}$$

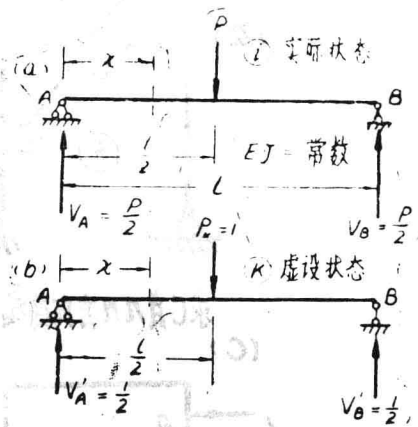


图 7—12

$$M_i = \frac{1}{2} P x \qquad \bar{M}_k = \frac{1}{2} x$$

$$Q_i = \frac{P}{2} \qquad \bar{Q}_k = \frac{1}{2}$$

设 $\Delta_{ki}^M = \sum \int_0^s \bar{M}_k M_i \frac{ds}{EJ}$ —— 单独由弯矩产生的挠度

$\Delta_{ki}^Q = \sum \int_0^s \mu \bar{Q}_k Q_i \frac{ds}{EA}$ —— 单独由剪力产生的挠度

将各弯矩值及剪力值代入上式，由于积分在梁的左半段和右半段是相同的，只需要在梁的左半段积分并乘 2，因此，求得：

$$\Delta_{ki}^M = 2 \int_0^{\frac{1}{2}x} \frac{x}{2} \cdot \frac{Px}{2} \cdot \frac{ds}{EJ} = \frac{Pl^3}{48EJ}$$

$$\Delta_{ki}^Q = 2 \int_0^{\frac{1}{2}x} \mu \frac{1}{2} \cdot \frac{P}{2} \frac{ds}{GA} = \frac{\mu Pl}{4GA}$$

所以梁中点的挠度值为：

$$\Delta_{ki} = \Delta_{ki}^M + \Delta_{ki}^Q = \frac{Pl^3}{48EJ} + \frac{\mu Pl}{4GA}$$

剪力和弯矩所产生的挠度比值为：

$$\frac{\Delta_{ki}^Q}{\Delta_{ki}^M} = \frac{\mu Pl / 4GA}{Pl^3 / 48EJ} = \frac{12\mu EJ}{l^2 GA}$$

已知： $J = \frac{bh^3}{12} = \frac{b \left(\frac{l}{10}\right)^3}{12} = \frac{bl^3}{12000}$

$$A = bh = \frac{bl}{10}$$

$$G = 0.4E$$

$$\mu = 1.20$$

所以 $\frac{\Delta_{ki}^Q}{\Delta_{ki}^M} = \frac{12 \times 1.2 \times E \times \frac{bl^3}{12000}}{l^2 \times 0.4E \times \frac{bl}{10}} = \frac{3}{100}$

这就是说，由于剪力产生的挠度只相当于弯矩产生的挠度的 3%，与 Δ_{ki}^M 比较， Δ_{ki}^Q 的数值是很小的，因此可以忽略不计。梁的高度越小剪力对于挠度的影响越小，当 $h = \frac{l}{20}$

时，由于剪力产生的挠度值只相当于由于弯矩产生的挠度的 $\frac{3}{400}$ 。由此可见，对于梁及刚架等以弯曲变形为主的结构，当计算变位时，剪力的影响是可以忽略不计的，即应用公式(7-4)来计算。

【例题7-2】图7-13, a所示简支梁AB受均布荷载 q 作用，跨度为 l ，材料的弹性模量为 E ，截面惯性矩为 J ，试计算梁中点C的挠度 f_c 。

解：实际状态(i 状态)如图7-13, a所示，对于这一状态的反力为：

$$V_A = V_B = \frac{ql}{2}, \text{ 弯矩方程式为:}$$

$$M_i = \frac{ql}{2}x - \frac{qx^2}{2} = \frac{q}{2}(lx - x^2)$$

在C点虚设一个单位力 $P_K = 1$ 作为虚设状态(K 状态)，对于这一状态，反力为：

$$V_A' = V_B' = \frac{1}{2}$$

当 $0 \leq x \leq \frac{l}{2}$ 时，弯矩方程式为：

$$\bar{M} = \frac{1}{2}x$$

将 M_K 、 M_i 代入式(7-4)可求得C点的挠度为：

$$\Delta_{Ki} = f_c = 2 \int_0^{\frac{l}{2}} \frac{1}{EJ} \cdot \frac{x}{2} \cdot \frac{q}{2} (lx - x^2) dx$$

$$= 2 \int_0^{\frac{l}{2}} \frac{q}{4EJ} (lx^2 - x^3) dx$$

$$= \frac{q}{2EJ} (l \int_0^{\frac{l}{2}} x^2 dx - \int_0^{\frac{l}{2}} x^3 dx)$$

$$= \frac{q}{2EJ} \left\{ \left[\frac{1}{3} \left(\frac{l}{2} \right)^3 - 0 \right] - \left[\frac{1}{4} \left(\frac{l}{2} \right)^4 - 0 \right] \right\}$$

$$= \frac{5ql^4}{384EJ}$$

计算结果为正值，说明实际变位的方向与所设单位力 $P_K = 1$ 的指向相同。

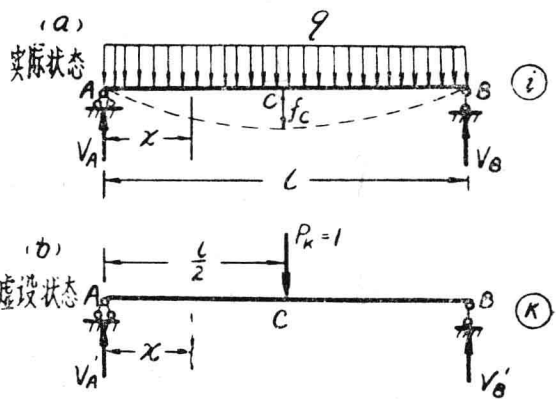


图 7-13